

現場計測에 依한 터널周邊地盤의 變位研究

Field Measurements of Ground Movements Around Tunnel

洪 性 完*

Hong, Sung Wan

裴 圭 振**

Bae, Gyu Jin

具 本 曉***

Gu, Bon Hyo

鄭 夏 翼****

Jung, Ha Ik

ABSTRACT

Generally, ground settlements and lateral displacements are accompanied by underground excavation associated with open-cut or tunnelling. These ground movements cause a harmful influence upon nearby super-structures and sub-structures. Occasionally, the ground movements may pose serious problems as the function of the nearby structures may be disrupted. Therefore, prior to the subway construction in an urban area, it is necessary to identify the causes of ground settlements and estimating the extent & the magnitude of ground movements since any potential damage to the nearby structures such as gas lines, water mains, high buildings and cultural assets must be assessed.

The research was performed mainly on ground movements such as surface settlements, lateral displacements, subsurface settlements and crown settlements to predict the maximum settlement and settlement zone, and to identify the causes of ground settlements in NATM sections of Busan subway.

As a result, it was found that lateral distribution of settlements could be approximated reasonably by a Gaussian normal probability curve and longitudinal distribution of settlements by a cumulative Gaussian probability curve, and that the early closure of temporary invert was very important to minimize ground settlements.

要 旨

비교적 얕은 깊이에서 터널을 鋸掘하거나 開鑿을 하는 경우, 周邊地盤에 沈下 및 水平移動 등의

* 韓國建設技術研究院 研究委員

** 韓國建設技術研究院 研究員

*** 韓國建設技術研究院 研究助員

**** 韓國建設技術研究院 研究助員

變位가 發生하게 된다. 이러한 變位는 周邊 構造物의 安定에 큰 影響을 미치며, 심한 경우 周邊 構造物이 破壞되는 狀態에 까지 이른다.

人口가 密集된 大都市에 地下鐵을 施工할 경우, 周邊 文化材, 高層建物, 上下水道管, 가스管 등의 安定을 地下鐵 設計時 고려하여야 하므로 터널掘鑿에 따른 地盤變位의豫測와 자세한 沈下의 原因이 紛明되어야 할 必要가 있다.

本研究에서는 地盤沈下量 및 沈下發生 領域을豫想하거나 沈下要因을 把握하기 위하여 釜山地下鐵 NATM 區間의 地表面沈下, 地表面水平變位, 地中沈下, 天端沈下 등에 관한 測定 分析이 이루어졌다. 그結果, 橫方向地表面沈下는 Gaussian normal probability curve, 縱方向地表面沈下는 cumulative Gaussian probability curve로서 解析이 가능하다는 것과 假インベ어트의 早期閉合이沈下量減少에 큰 影響을 미친다는 것을 알 수 있었다.

1. 序論

都市터널은 建物이 밀접되어 있는 도심지의 밀을 通過하여 比較的 얕은 깊이에서 施工되고 있기 때문에, 一般 山岳터널과는 달리 地下掘鑿에 따른 地盤의 變位가 크게 되면 때로는 隣近構造物이나 公共設備의 機能을 마비시키는 경우가 發生하게 되므로 計劃, 設計 및 施工段階에서 신중한 배려가 必要하다. 또한 都市터널은 路線과 깊이를 자유로이 선택할 수 없다는 制約을 갖고 있기 때문에 設計와 施工에 앞서서 地質狀態와 地盤掘鑿에 따른 應力變化 및 周圍環境與件이 충분히 고려되어야만 한다.

一般的으로 터널周邊地盤의 變位에 관한 研究는 많은 學者들에 의해 經驗的 또는 半經驗的方法, ^(1,2,3) 理論的方法, ^(4,5) 物理的實驗方法, ^(6,7) 現場計測方法 ^(8,9,10) 등을 통하여 이루어져 왔다. 최근까지의 이러한 研究結果는 地盤變位問題를完全하게 규명하지는 못하고 있으나, 地盤沈下의 形態에 있어서는 거의 근접하는 結果를 보이고 있다. 즉 橫方向地表面沈下는 가우스 正規分希曲線(Gaussian Normal Probability Curve)으로, 縱方向地表面沈下는 累積正規分希曲線(Cumulative Normal Probability Curve)으로 形態를 유추할 수 있는 것으로 밝혀지고 있다. 이러한 推計學的 模型(stochastic Models)은 Martos⁽¹¹⁾가 광산터널(Mine Opening)을掘鑿할 시 地表에 發生한沈下形態을 규명하는 데에 적용시킨 것을 계기로 하여, 그후 Schmidt, Peck^(12,13)이 軟弱地盤에서 얕은 깊이로 施工되는 都市터널의

地盤沈下 解析方法으로 이를 적용함으로써 이 분야에 대한 많은 研究가 수행되었다. Deere⁽¹⁴⁾는 많은 計測資料를 토대로 하여 터널의 幾何學的要素와 地盤條件에 따라沈下曲線의 最大傾斜가 일어나는 位置變化를 $i/R = (Z_0/D)^n$ 式으로 표현하였으며, Peck은 粘土의 경우 式內의 n 값을 0.8로 가정하였다. 여기서 R 은 터널半徑, D 는 터널直徑, Z_0 는 터널깊이, i 는沈下曲線의 最大傾斜位置, n 은 常數이다. O'Reilly는 Peck과는 달리 $i=KZ$ 로 i 값을 터널깊이에 대한 합수만으로 고려하고, 상수 K 값을 粘性土 경우 0.5, 砂質土 경우 0.25로 가정하였다. Attwell, Farmer^(15,16)는 좀더 세분된 地質形態에 따라 i 값의 변화를 고찰한 結果, 正規壓密粘土의 경우는沈下曲線의 경사위치가 Peck의 式을 따르나 過壓密粘土의 경우는 약 1.5배 정도 더 크게 나타난다고 제시하였다. 그러나 이러한 많은 式들은 全斷面掘鑿工法인 Shield工法의 적용에 따른 變位形態를 주로 논한 것이므로, NATM工法과 같이 分割斷面으로掘鑿·施工하는 경우에는 上記式들의 直接적인 적용에는 다소 문제가 있다.

따라서 國內 都市터널工事의 주종을 이루는 NATM工法으로 현재 施工中인 釜山地下鐵 0-00工區에 代表 計測區間을 設定하여 實測을 통한 資料分析을 實施하고, 釜山地下鐵 0-0工區 蔽集 計測資料의 分析을 수행하여 NATM工法 적용시 地盤變位의 形態, 發生影域, 變位量 등을 예측할 수 있는 방안들을 研究하고자 한다.

2. 現場條件 및 實測計劃

터널掘鑿에 따른 경확한 地盤舉動을 把握·分析하기 위하여, 地盤이 軟弱하고 湧水量이 많은 釜山地下鐵의 NATM 施工區間인 0-00工區를 代表 計測工區로 선정하여 實測을 實施하였다.

釜山 0-00工區는 大斷面 復線 터널區間으로서 터널斷面은 지름이 약 10m인 원형에 가깝고, 터널깊이는 약 9m~10m 정도로 비교적 얕은 깊이에서施工되고 있는 터널區間이다.

2.1. 現場地質條件

釜山 0-00工區現場과 같은 매립지역은 地下水位가 地表까아에 存在하므로 터널掘鑿時에 湧水에 대한 대책마련이 터널施工의 성패에 重要한 要因이 된다.

計測實施地域의 地質狀態는 그림(2-1)에서와 같이 地表에서 2.5m 地中까지 주로 매립토와 같은 호박돌로構成되어 있으며, 地中 8m 까지는 CL로 分類되는 실트질 粘土層, 地中 13m 까지는 SW로 分類되는 砂質土, 地中 20m 까지는 風化岩 그以下の 軟岩으로, 비교적 연약한 地層으로構成되었다. 이러한 地質狀態로 볼 때 터널掘鑿으로 인한 地盤應力分布의 변화에 따라 터널內部에 流入되는 地盤損失(ground loss) 및 地下水位 低下로 인해서 發生되는沈下, 遮水를 위한 grouting 시 地中에 透水係數가 낮은 실트질 점토층의 존재로 인한 地盤隆起 등 많은施工上 問題點들을 내포하고 있는 現場이라 사료된다.

2.2. 터널掘進狀態

터널掘進은 現場의 악조건의 地質狀態를 고려하여 地盤變位를 最大로 줄일 目的으로 上半掘鑿과 병행하여 假인버어트를 設置하고, 上半막장을 정지한 후下半掘鑿과 인버어트굴착을施行하도록 계획되어 있었다. 또한 遮水 및 地盤補強目的으로 약 20m 터널掘進後에는掘鑿을 中止하고 水平 grouting 을 實施함과 동시에 grouting 이 地盤에 미치는 影響을 調查하기 위하여 地表에서는沈下 및 隆起에 대한 計測이

實施되었다.

計測實施前掘進狀態는 計測點 13m 前方에서 上半掘進 및 假인버어트가 閉合된 상태에서掘鑿을 中止하고 막장면을 shotcrete로 閉合시킨 후 水平 grouting 을 實施하여 地盤을 補強한 狀態였으며, grouting 으로 인한 地盤의 變動은 약간의 隆起現象과沈下가 發生되었으나 時間이 經過함에 따라 地表沈下가 거의 收斂狀態로 나타났다.

計測은 grouting 後 20日 정도 지난 뒤 地盤變動이 없는 狀態에서 上半部를 계속掘鑿하면서 假인버어트 閉合을 進行시켜 計測點 약 9m 後方까지掘進後, 2차 grouting 으로 地盤을 改良하기 위해 막장掘鑿을 靜止했을 때까지 實施하였다.

2.3. 實測位置選定

그림(2-2)는 터널의 橫方向 計測點들의 位置를 圖示한 그림이다. 그림의 計測點들을 設置하는 데는 周圍의 建物 및 骨材野積場 때문에 제약을 받아 터널 中心線에서 對稱되게 設置하지 못하고 주로 터널右側의 橫方向으로 9개의 測點을 設置하고 縱方向으로는 3개의 測點을 設置하였다.

그림(2-3)은 地中沈下 測定用 extensometer의 설치위치를 나타내고 있다. 그림의 C點은 設置遲延으로 計測이 제대로 행해지지 못하고 A點과 B點에서만 地中沈下를 計測할 수 있었다.

2.4. 實測方法

터널掘進에 따른 地表沈下는 觀測距離 20m의 誤差가 0.02mm 정도인 Sokkisha 레벨을 이용하여 1日 1回씩 觀測하였으며, 上半막장이 計測點 3m~4m 前方에 도달하였을 때는 1일 2회씩, 計測點通過後 4m 後方부터는 1일 1회씩 觀測하였다.

地表의 水平變位를 調查하기 위해서는 觀測距離 20m의 오차가 0.1mm 정도인 1초동 Sokkisha 메오돌라이트를 이용하여 地表沈下와 같은 頻度로서 測定을 하였으며, 地中沈下의 경우에는掘鑿前에 extensometer를 設置하고 上半 막

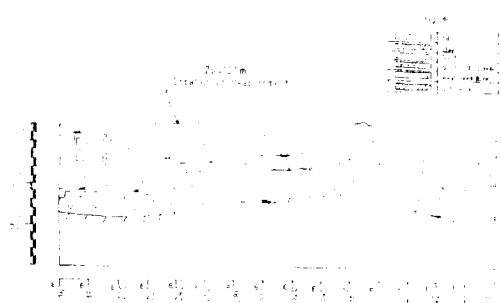


Fig. 2.1. Geological Map at the Section No. 0-00 in Busan Subway

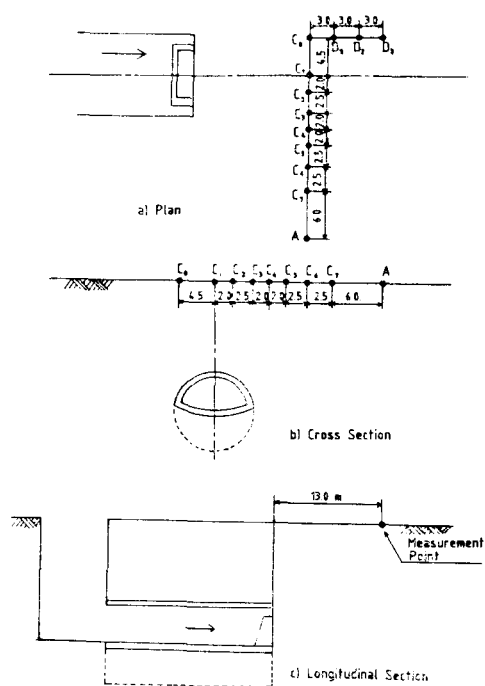


Fig. 2.2. Location of Surface Settlement Points

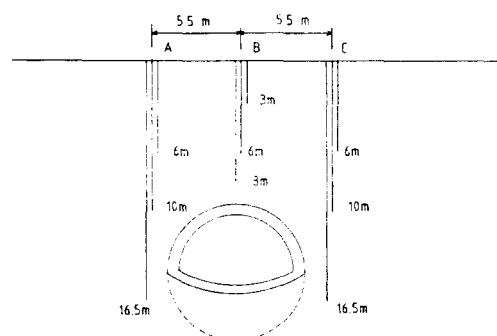


Fig. 2.3. Location of Subsurface Settlement Points

장進行에 따른 地盤變動을 111 1회씩 觀測하였다.

天端沈下와 內空變位에 대한 測定은 레벨 및 convergence meter를 이용하여 實施하였으나 測點設置의 遲延에 따라 計測點後方 4m 地點부터 計測하였다.

3. 實測結果分析

3.1. 縱方向의 地表面 沈下

그림(3-1)은 각 計測點에서 터널을 掘進할 때 發生하는 縱方向의 地表沈下를 表示한 그림이다. 그림으로부터 터널 中心에서 橫方向의 距離가 먼 計測點일수록 沈下量이 작게 나타나며, 또한 上半掘鑿에 따른 地表沈下의 發生點도 늦게 나타나는 경향을 띠고 있다.

計測工區의 터널掘進상황은 上部掘進에 따라 假인버어트를 2m~3m 間隔으로 閉合시켰으며, 上部掘進은 計測點 後方 9.5m 까지 行해진 뒤 grouting을 위해 中斷된 狀態였다. 掘鑿前에 grouting으로 地盤이 改良된 이유도 있겠으나 假인버어트의 閉合이 조속히 이루어져서 計測點에서의 沈下量이相當히 작게 나타나고 있다. 또한 그림에서처럼 上半掘鑿과 더불어 假인버어트가 閉合되는 경우는 上半通過時에 發生하는 급격한 沈下가울기가 假인버어트의 早期閉合으로 완만하게 되며, 假인버어트가 計測點 後方 3m 地點을 通過한 以後는 沈下의 增加가 거의 없어지는 것을 알 수 있다. 따라서 假인버어트의 신속한 設置는 터널內로의 地盤損失을 減少시켜 結果的으로 地表沈下를 減少시킨 것을 알 수 있다.

터널掘進距離에 따른 縱方向의 地表沈下는 假인버어트를 計測點 後方 3m~4m 정도에서 閉合시킨 뒤부터 一定值에 收斂하므로 縱方向의 地表沈下와 累積正規分布曲線과를 比較하였다. 累積正規分布曲線은一般的으로 다음과 같은 式으로 表示된다.

$$\delta_s / \delta_{s\max} = \frac{1}{\sqrt{2\pi}} \int_{-\infty}^{y/i} \exp(-u^2/2) du$$

여기서 δ_s 는 縱方向의 距離에 따른 沈下量, $\delta_{s\max}$ 는 最大 沈下量, y 는 터널 막장에서 計測線까지

의 縱斷方向의 距離, i 는 累積正規分布曲線의 標準偏差를 나타낸다.

그림(3-2)는 i 값이 $Z_0'/2$ 인 累積正規分布曲線과 터널掘進거리에 따른 縱方向의 地表沈下計測值들을 比較·圖示한 것이다. 그림으로부터 縱方向의 計測值들에 대한 地表沈下曲線은 i 값

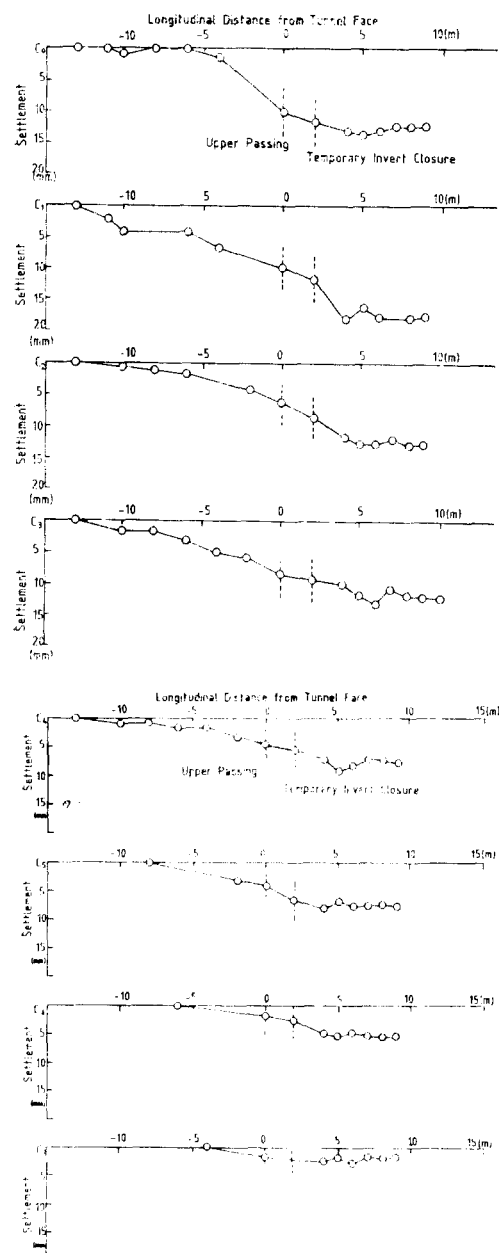


Fig. 3.1. Surface Settlement Profile with Tunnel Progression

이 $Z_0'/2$ 인 累積正規分布曲線과 比較的 근접한 形態로 나타나고 있다. 단, Z_0' 은 地表에서 터널掘擊斷面높이의 1/2되는 지점까지의 깊이이다.

그림(3-3)은 時間經過에 따른 平均 地表沈下의 速度를 表示한 그림이다.一般的으로 最大沈下速度가 나타나는 位置는 計測點 通過時라고 알려져 있으나, 本 實測區間에서는 計測點 通過後 1~2일 지나서 最大沈下速度가 나타나고 있다.

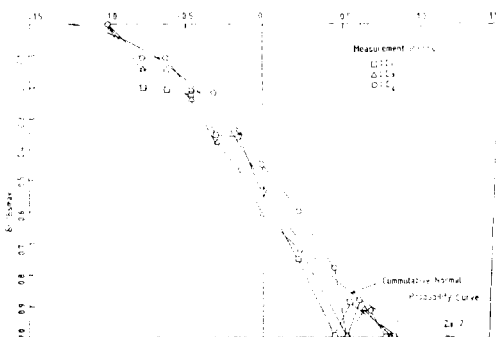


Fig. 3.2. Projection of Measurement Data onto the Cumulative Normal Probability Curve

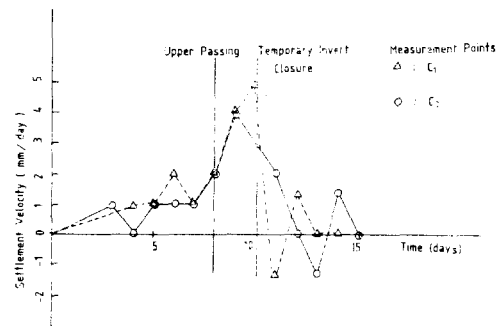


Fig. 3.3. Average Settlement velocity versus Elapsed Time

3.2. 橫方向의 地表面沈下

그림(3-4)는 가우스正規分布曲線을 나타내며一般的으로 다음과 같은 式으로 表示할 수가 있다.

$$\delta_s = \delta_{s\max} \cdot \exp(-X^2/(2i^2))$$

여기서 δ_s 는 橫方向거리에 따른 地表沈下量, $\delta_{s\max}$ 는 最大沈下量, X 는 터널 中心線에서 橫方向으로 떨어진 距離를 나타낸다. i 는 가우스正規分布曲線에서의 標準偏差로서, 다음과 같

은 方法으로 구할 수 있다.

- 1) 緩和曲線(Smooth Curve)에 依한 方法
- 2) 最適方法(Best-fit Method)
- 3) 體積方法(Volume Method)

첫째方法은 橫方向 거리에 따른 地表沈下量을 緩和曲線으로 連結, 圖示한 뒤 $0.607 \delta_{s\max}$ 되는 지점의 橫方向距離를 i 값으로 定하는 方法이고, 둘째方法은 $\log(\delta_s/\delta_{s\max})$ 와 X^2 과의 相關關係를 圖示한 뒤 $\delta_s/\delta_{s\max}$ 的 값이 0.607이 되는 지점의 X 를 i 값으로 定하는 方法이며, 세째方法은 測定된 沈下 through 的 體積을 $2.5 \delta_{s\max}$ 로 나누어서 i 값을 구하는 方法이다. 以上의 3가지 方法에 의해 구해진 각각의 i 값은 地表沈下曲線이 가우스正規分布曲線과 理想的으로 完全一致가 되는 경우만 같은 값으로 나타나기 때문에沈下曲線이 가우스正規分布曲線과 完全一致가 어려운 現場計測值의 경우에는 方法에 따라 구해진 i 값의 差異가 생기게 된다. 그러나 實測結果에 따르면 地表沈下曲線이 比較的 가우스正規分布曲線과 비슷한 모양을 보이며, 測點數의 부족으로沈下 through 的 體積을 정확히 구하기가 어려운 體積方法(Volume Method)을 제외한 緩和曲線 및 最適方法으로 구한 i 값이 比較的 근사한 값을 보이기 때문에 가우스正規分布曲線을 이용한 沈下解析이 可能하다고 판단된다. 實제 현장에서는沈下曲線의沈下收斂位置를 정확히決定하기가 어려우므로 最大沈下量의 5%程度로 미세한沈下量을 갖는 $2.5i$ 地點을 橫方向의沈下收斂位置로 보아서沈下發生領域을 規定할 수가 있다. 그림(3-5)는 實測資料에 대한 橫方向의 地表沈下 through 形態를 最適方法으로 圖示한 것이다.

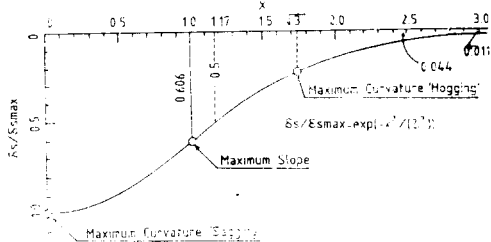


Fig. 3.4. Gaussian Normal Probability Curve

一般的으로 가우스正規分布曲線과沈下曲線이一致하게 되면 $\log \delta_s/\delta_{s\max}$ 와 X^2 의 상관관계는

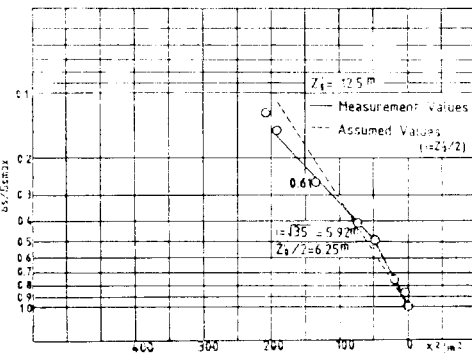


Fig. 3.5. Shape of Surface Settlement Trough

直線으로 表示된다. 그림에서처럼 實測值는 터널 中心線부근에서 약간沈下가 集中되는 경향을 보이나 비교적 直線形態를 나타내고 있으며, i 값은 5.92 m로 나타나고 있다. 또한 i 값을 $Z_0'/2$ 로 가정하였을 때와 비교 圖示해보면 그림에서처럼 10% 以內의 오차로 비교적 근접한 거리에서 나타나고 있어 외터널(Single Tunnel)의 경우 橫方向의 地表面沈下形態는 i 값이 터널 中心線에서 $Z_0'/2$ 만큼 橫方向으로 멀어진 位置에서 나타나는 가우스正規分布曲線으로써 表示할 수 있다고 생각된다.

그림(3-6)은 橫方向의 最終 地表面沈下形態를 表示한 것이다. 그림으로부터 地表面沈下는 터널 中心線위의 地表에서 最大值가 나타나며, 터널 中心으로부터 橫方向으로 멀어질수록 점차減少되어 15 m 지점에서부터는 거의沈下값이零에 가깝게 收斂되고 있다. 이러한沈下計測值의收斂位置는 가우스正規分布曲線의沈下收斂領域인 $2.5i$ 地點과는 다소 차이가 있으나 最大沈下量에 대한 5% 정도의沈下를 $2.5i$ 地點에 허용하고 있는 것을 고려해 볼 때 비교적 근사한 값이라 사료된다.沈下收斂位置는 터널 깊이와 터널 斷面크기, 地質狀態, 地盤損失程度, 施工方法 등에 따라 달라질 수 있으므로 한 地點에 대한 實測資料로부터 定量的인 數値를 언급하기는 어려우나, 士砂區間에서 都市터널과 같이 터널깊이가 얕은 경우에 現場의 施工技術者가 周圍建物에 대한 地表面沈下의 影響範圍를 추정하는 것은 가능하리라 판단된다.

그림(3-7)은 計測點에서 터널 掘進距離에 따라 測定된 橫方向 地表面沈下量의 分布를 等高

線形態로 圖示한 그림이다. 그림으로부터 沈下等高線의 擴散方向과 터널掘進方向이一致함을 볼 수 있으며, 等高線은比較的 左右對稱型으로 나타나고 있다.

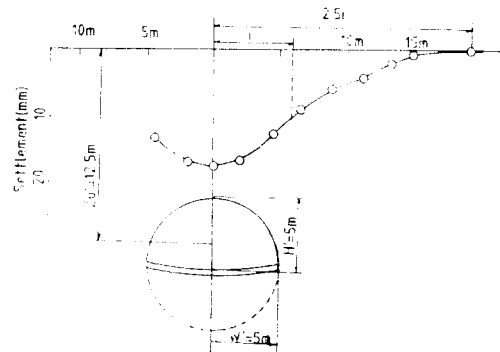


Fig. 3.6. Development of Transverse Surface Settlements

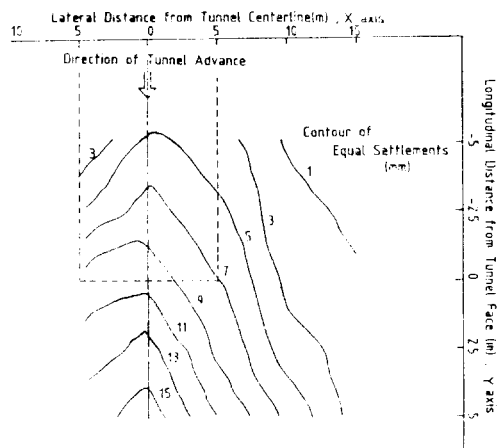


Fig. 3.7. Distribution of Lateral Surface Settlement with Tunnel Progression

3.3. 地表面 水平變位

地表面에서 薄의 變位는 垂直方向으로만 發生하지 않고 터널掘進方向에 따라서도 變化하므로 地表面에서 1초독 베오돌라이트를 利用하여 水平變位의 크기와 方向을 調査하였다.

그림(3-8)은 各 計測點에서 橫方向으로 發生한 水平變位量을 圖示한 것이다. 그림으로부터 地表의 垂直方向의 沈下量에 비해서 작은 値이나 터널掘進에 따라 地表面의 水平變位가 發生되며, 주로 터널側面部 위의 地表에서 크게 나타나고 터널中心線 위에서는 거의 發生하지 않

는 것을 알 수 있다. 最大水平變位가 發生하는 위치는 가우스正規分布曲線의 i 지점附近에서 發生하고 있으므로 沈下曲線 기울기가 變化하는 지점에서 水平變位가 크게 發生할 수 있다.

水平變位의 觀測은 정밀한 1초독 베오돌라이트를 使用하여 施行하였으나, 時間經過에 따른 水平變位量이 미소하므로 機械誤差 및 觀測誤差를 감안하여 2회 以上의 觀測으로부터 一致되는 値을 이용하였다. 그림(3-9)는 터널掘進에 따른 水平變位ベ타를 圖示한 것이다. 그림에서처럼 터널이 計測點을 通過하기 前에는 地表面 水平變位의 方向이 터널掘進의 逆方向으로 나타나나, 通過後에는 다소 터널掘進方向으로 기우는

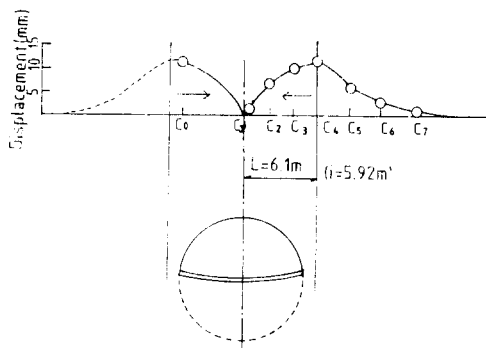


Fig. 3.8. Development of Lateral Displacements at Ground Surface

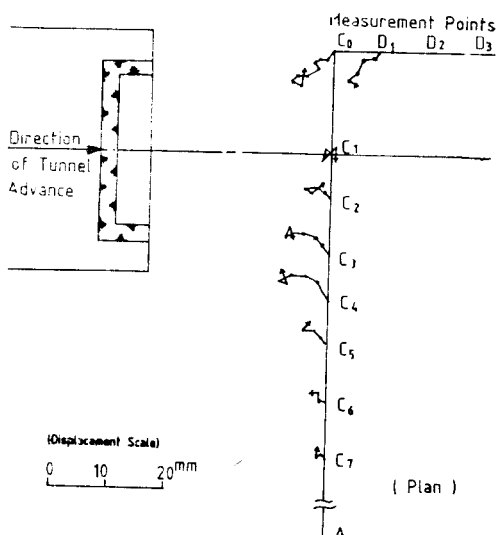


Fig. 3.9. Vectors of Lateral Displacement at Ground surface

경향을 보임에 따라, 地表面 水平變位는 地盤損失이 일어나는 方向으로 發生함을 알 수 있다.

3.4. 地中沈下

그림(3-10)은 터널中心線 위의 *B* 地點에서 時間經過에 따른 地中沈下量 및 地表沈下量을 圖示한 그림이다. 그림에서처럼 地中沈下는 막장通過直後에沈下增加率이 제일 크며, 假인버어트를 計測點後方 3 m 지점까지 閉合시킨 後는 오히려 약간의 隆起現象이 發生하면서 거의沈下가 收斂하는 모양을 나타낸다. 이러한 隆起現象은 國內 터널 技術者들에 의하면 地盤이 주로 節理를 갖는 岩盤으로 形成되어 있는 경우 岩盤堤體가 掘鑿으로 인한 침擊動을 하게 되며 掘鑿前面이 上向舉動함으로써 나타난다고 보고되고 있으나, 軟弱地盤이相當히 幅넓게 發達한 本計測區間에서는 이러한 原因으로 隆起를 解析하기에는 다소 무리가 있다고 사료된다. 보다 자세한 原因은 軟弱地盤으로構成된 여러 現場에서 長期的인 觀測이 수반되어야만 可能하다고 사료된다.

그림(3-11)은 그림(3-10)과 같이 地中沈下는 地表沈下보다 크게 發生하는影響을 보이나 터널 天端部가 아닌 터널側面부의 地中沈下는 地表沈下보다 오히려 減少하며, 특히 터널 掘鑿으로 인한影響을 작게 받는 地中 16.5 m 地點에서는 2 mm 程度의 극히 작은沈下值를 나타내고 있다. 터널 天端部의 地盤에서는 地表沈下나 地中沈下가 크거나 모양이 비교적 비슷하게 나타나고 있지만, 터널側面부 위의 地盤에서는 地表沈下에 비해 相對적으로 地中沈下가 작게 나타나고 있다.沈下기울기는 計測點通過直後에 제일 급하며 假인버어트를 計測點後方 3 m 地點까지 閉合한 後는沈下가 一定值에 收斂하고 있다.

그림(3-12)는 地表沈下 및 地中沈下의 實測值를 分析한 것이다. 그림(3-10)과 그림(3-11)의 結果로부터 터널中心線 위의 地表沈下는 地中沈下보다 작은 값을 나타내나 터널側面부 위의 地表沈下는 오히려 地中沈下보다 큰 값을 나타내고 있다는 점과 그림(3-6)의 結果인 地表沈下는 터널 中心線에서 2.5 *i* 되는 지점에서 收斂된다

는 事實로 부터 그림(3-12)와 같이 圖示할 수가 있겠다. 따라서 터널掘鑿에 따른 地中沈下는 地表沈下보다 터널中心線 부근에서는 크게 나타나나 橫方向距離에 따른沈下減少幅으로 보아沈下發生領域은 地表보다 좁게 나타난다고 볼 수 있다. 그러나 제반여건으로 인해 地質狀態, 터널斷面크기, 터널깊이에 따른 實測을 여러곳에서 實施하지 않은 狀態이므로 定量的인 解析은 어려우나 釜山地下鐵 0-00工區의 경우 掘鑿影響角 β 가 약 45° 정도로 나타났다.

터널掘進距離에 따른 地表 및 地中沈下曲線들은 都市터널과 같이 比較的 얕은 깊이에서 施工되는 경우沈下形態가 비슷하게 나타나므로 地中沈下도 累積正規分布曲線과의 比較가 가능하다고 볼 수 있다. 그림(3-13)에서처럼 計測點을通過하기 前에는 *i* 값이 $Z_0'/2$ 인 累積正規分布曲線과 比較의 近接하게 圖示되고 있으나 計測點通過後에는 오히려 *i* 값이 $Z_0'/3$ 인 曲線에接近하는 모양을 보이고 있다. 이는沈下發生領域을 고려해 볼 때 地中이 地表보다 計測點通過時에는 掘鑿의 영향을 더 크게 받으나, 計測點에서 터널上半部가 점차 멀어지면 掘鑿의影響이 오히려 減少되므로, 計測點通過後 地表보다 빨리沈下가 收斂된다고 사료된다. 또한 그림에서 16.5 m 地點의 地中沈下曲線은 다른 曲線과 달리 累積正規分布曲線과近似한 形態를 나타내고 있지 않는데, 이는 터널側面에서도 下部에 속하는 곳이어서 다른 地中沈下曲線과는 相異한 모양을 나타내고 있는 것으로 판단된다.

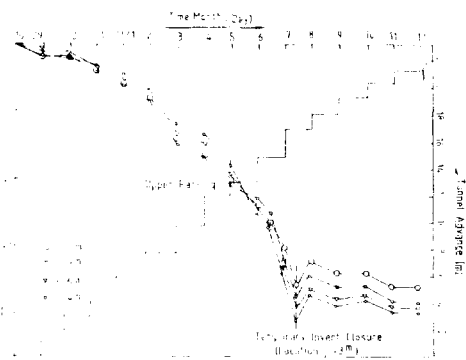


Fig. 3.10. Development of Surface Settlement over Tunnel Axis with Time

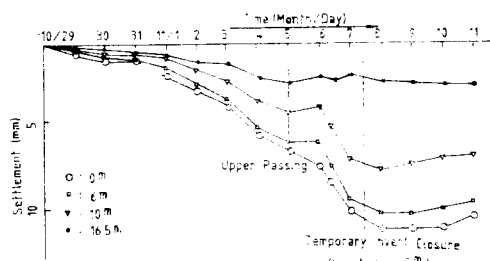


Fig. 3.11. Development of Subsurface Settlement over Tunnel Springlines with Time

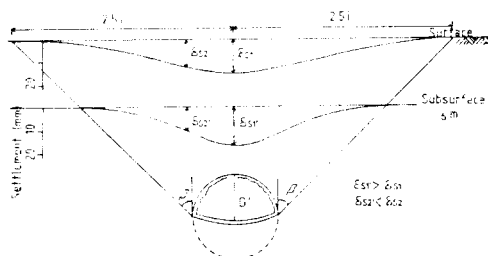


Fig. 3.12. Transverse Settlement Profile with Depths

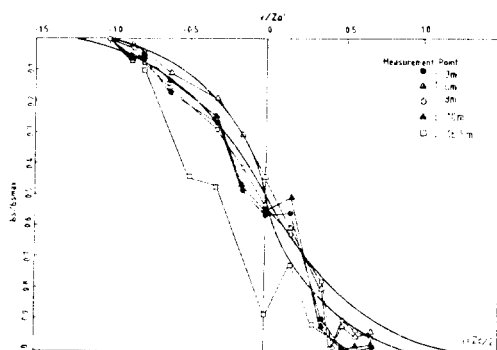


Fig. 3.13. Projection of Measurement Data onto Cumulative Normal Probability Curve

3.5. 天端沈下

天端沈下는 터널이 計測點을 通過하여 5m 정도掘進한 狀態에서 計測되었기 때문에 沈下初期值가 觀測되지 않아 最大沈下量이 3mm 정도로 아주 작은 값으로 나타났다.一般的으로 天端沈下는 E.J. Coording 과 W.H. Hansmire⁽¹⁷⁾에 의하면 天端沈下와 地中沈下의 相關關係式 $\delta_c = \delta_0 \cdot 2(r+h)/D$ 로부터 天端沈下值를 算定할 수 있는 것으로 보고되고 있다. 여기서 $\delta_c(\delta_0)$ 는

天端沈下值(地中沈下值)를 나타내며, r 은 터널 半徑, D 는 터널直徑, h 는 터널天端에서 부터 地中沈下測定位置까지의 距離를 나타낸다. 그림(3-10)의 터널中心線 위의 地中沈下值와 上記式을 利用하면 本 計測區間의 天端沈下는 29mm 정도이며, 이 값은 計測值 3mm 와는 상당한 차이가 있다. 이는 터널이 計測點을 通過할 時에 大部分의 天端沈下가 發生하기 때문인 것으로 사료된다.

4. 蒐集資料分析

蒐集計測資料는 主로 釜山地下鐵 NATM 施工區間인 0-0 工區로부터 터널計測原則에 입작하여 測定된 資料들을 選別·拔萃하여 터널掘鑿에 따른 地盤變位解析을 수행하였다.

4.1. 現場地質條件

釜山地下鐵 0-0工區 計測區間의 地質狀態는 그림(4-1)에서와 같이 地表일 10m 以上까지 風化土가 發達된 土地, 地表에서 4m~6m 地中까지는 風化土가 發達되고 그 밑은 風化岩이 形成되어 있는 데, 地表일 2m~3m 까지는 風化土, 3m~6m 까지는 風化岩, 그 밑은 軟岩順으로 形成되어 있는 데, 등 3가지로 大別한다. 이 区間은 地質의 變動이 심한 데이여서 터널掘鑿이 岩盤區間에서 土砂區間으로 이루어질 때 막장部에서의 土砂 및 地下水流입, 落盤 등의 위협이 따르는 難工事現場으로 사료된다.

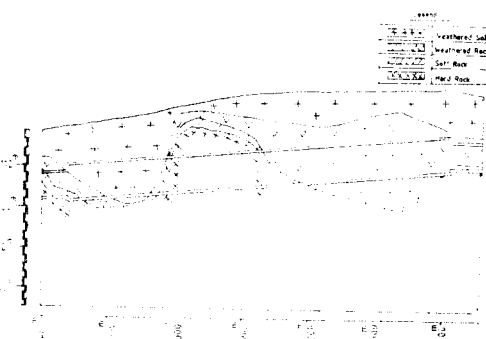


Fig. 4.1. Geological Map of 0-0 Section in Busan Subway

4.2. 터널斷面 및 掘進方法

釜山地下鐵 0-0 工區는 大斷面 複線터널 區間으로서, 터널斷面은 幅과 높이가 약 9m~11m 程度인 馬蹄形으로 地質狀態에 따라 幅과 높이 比가多少 다른 3가지 型으로 分類하여 施工하였으며, 터널 center에서 地表까지의 깊이는 약 15m~19m 程度인 NATM 터널 區間이다.

資料分析이 이루어진 本 工區의 計測區間은 地盤의 軟弱性을 고려하여 上半掘鑿과 함께 假 인버어트를 閉合시킨 後 下半掘鑿과 인버어트를 閉合하는 順序로 터널이 掘進된 區間이며 假 인버어트는 上半挖掘을 약 5m 간격으로 뒤따르고, 인버어트는 下半掘鑿을 약 3m 後方에서 뒤따르면서 比較的 近接하게 施工되었다. 그러나 現場與件에 따라 掘進狀態의 變化가 많으므로 資料分析時 각각에 대해 掘進狀態를 表示하였다.

4.3. 計測資料分析

計測資料中 主로掘鑿의 影響을 받지 않은 곳에 따라 計測點이 設置되고掘鑿에 따른 計測이 차질히 違行된 地點들의 資料들을 다음과 같이 抜萃하여 分析하였다.

그림(4-2), (4-3), (4-4)는 0k 943m, 0k 290m, 0k 320m 地點의 터널掘進距離에 따른 縱方向의 地表沈下形態를 圖示하고 있다. 그림(4-2)의 0k 943m 地點은 上半掘進에 따른 假인버어트閉合을 5m~10m 간격으로 施工하였으며, 下半掘鑿에서는 인버어트를 2m~3m 간격으로 거의 下半掘鑿와 同時に 인버어트를 閉合시킨 狀態이다. 그림(4-3)에서는 計測點까지 假인버어트閉合이 3m~6m 간격으로 比較的 上半掘進에 近接하게 뒤따라, 가인버어트의 計測點 閉合後沈下가 급격히 減少되어 收斂狀態로 이르나, 上半掘進에 따른 假인버어트의 閉合이 계속적으로 이루어지지를 못하고 특히 假인버어트의 計測點 後方 4m 地點 閉合이 上半掘進에 비해 12m 나 차이가 나서 다시沈下가 급격히 나타난 것으로 보인다. 4m($\approx Z_0'/3$)閉合後는沈下가 거의 收斂狀態로 나타나고 있어서 計測點 4m~5m 後方의 上半掘進에 따른 假인버어트의 閉合關係가沈下의 크기에相當한 影響을 미친다고 판단된다.

된다. 그림(4-4)에서는 計測點까지 假인버어트閉合이 4m~8m 간격으로 뒤따랐으나 上半이 計測點 通過後 5m 地點에서掘鑿을 中止하여掘鑿中止에 따른沈下가 크게 發生한 것을 알 수가 있고, 計測點 後方 3m~4m 地點에서 假인버어트가 閉合되면沈下가 一定한 收斂値에 도달하고 있다.

以上의 터널掘進距離에 따른 地表沈下曲線들로부터 假인버어트를 計測點 後方 約 $Z_0'/3$ 附近까지 閉合시키면 上半掘鑿時의 計測點에서의沈下量은 收斂形態를 취한다는 것을 알 수가 있으며, 下半部에서는 인버어트 閉合後 下半掘鑿이 約 10m($0.75Z_0'$) 程度 더掘進된 距離에서부터沈下가 收斂되게 나타남을 알 수 있다.

그림들로부터 假인버어트 및 인버어트의 早期閉合은沈下量을 減少시키는 要因이 된다고 판단되며 上半部의掘鑿時에도 下半部掘鑿時처럼假인버어트 閉合을 조속히 實施한다면 地盤沈下를 좀 더 억제할 수 있으리라 생각된다.

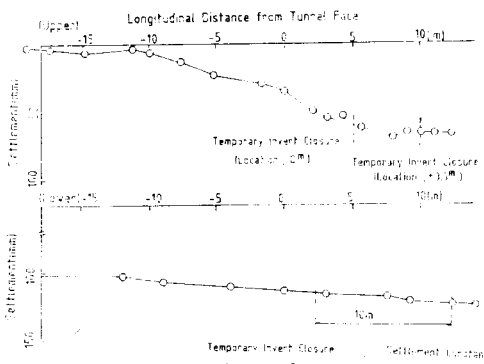


Fig. 4.2. Surface Settlement Profile with Tunnel Progression (0k 943 m)

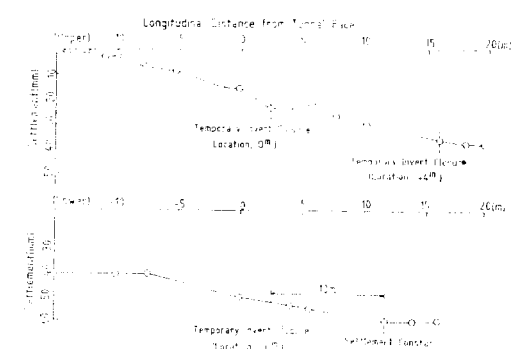


Fig. 4.3. Surface Settlement Profile with Tunnel Progression (0k 290 m)

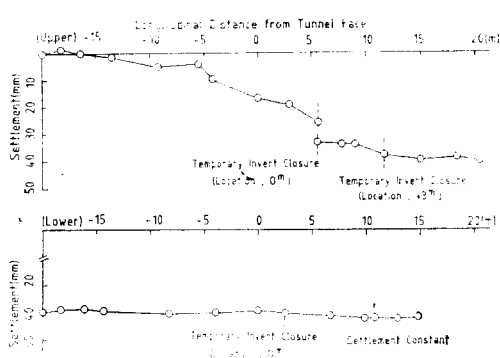


Fig. 4.4. Surface Settlement Profile with Tunnel Progression (0k 320 m)

그림(4-5)는 각計測地點에서 上下半部掘進 및掘鑿中止에 따른 純沈下量을 最終沈下量에 대해 百分率로 圖示한 그림이다. 그림에서 上半을 計測點 2m~3m後方까지만掘鑿하고 2달以上放置해 둔 狀態에서 下半을掘鑿하고 인버어트를 한 0k 960m地點과, 上半掘鑿後 2달以上放置해 두어서放置로인한 그간의沈下量이比較的 큰 0k 943m地點을 제외하고는 上半부의掘進에 따른沈下量은一般的으로 最終沈下量의 70%~90%이며, 下半부의掘進에 따른沈下量은 最終沈下量의 10%~30%程度로서 假인버어트를 上半掘鑿과並行하여閉合하는 경우에는一般的으로上半掘鑿에 따른沈下量이下半掘鑿으로인한沈下量보다도 훨씬 크게 나타나고 있다.

그림(4-6)은 計測地點別 上下半部의 計測點通過時의沈下量을 最終沈下量에 대한 百分率로 表示한 그림이다. 그림에서 上半이 計測點을通過하기 前에長時間掘鑿中斷으로인한沈下가 큰 0k 975m, 0k 185m를 제외하고는一般的으로上半通過時에 20%~40%程度沈下가發生하며下半通過時는 90%程度, 인버어트閉合과 더불어 거의 最終沈下量에 다다르게 된다. 그러나上記의 그림은 인버어트閉合이下半掘鑿과 거의並行해서施工되는 경우이므로下半通過時에 90%程度의沈下量으로 最終沈下量에近接하지만 인버어트의閉合이 늦은 경우는下半通過時의沈下量이 90%程度보다도 작을 것으로 판단된다. 이러한 인버어트의閉合은 터널을完全한

하나의圓形으로閉合시키기 때문에構造的으로安全하고, 土壓支持面積을增加시켜 박공전체의沈下量을減少시키며, 아울러水平變位를减少시켜地盤損失을 줄이기 때문에全般的으로沈下를减少시키는要因이된다고판단된다.

그림(4-7)은假인버어트의閉合後沈下가收斂된狀態로보이는部分을上半掘進에 따른最終沈下量으로假定하고計測值들을累積正規分布曲線과比較·圖示한 것이다. 그림에서처럼 i (표준편차)값이 $Z_0'/2\sigma$ 인累積正規分布曲線과計測值들은比較的근접하게 나타나고있으며,計測點에서의값은假인버어트閉合이上半掘進과어느정도근접하여施工되고있는지,혹은上半通過前에掘鑿中斷으로인한沈下가發生된적이있는지에따라0.5의沈下對比값보다上向혹은下向의경향을나타낸다.一般的으로上半이計測點後方5m地點을通過하기前에假인버어트가閉合되고,上半掘鑿을計測點通過前에中斷한事實이없는경우에는0.5보다약간큰값을나타내며,8m以上上半이計測點을通過한後假인버어트를閉合하거나,上半掘鑿이計測點通過前에長期間中止된경우에는0.5보다다소작은값을나타내어地盤損失이역제되지않으면地盤沈下도계속됨을알수있다.또한터널掘進의영향을받아地表面變位가發生하는初期位置는地質에따라다소差異

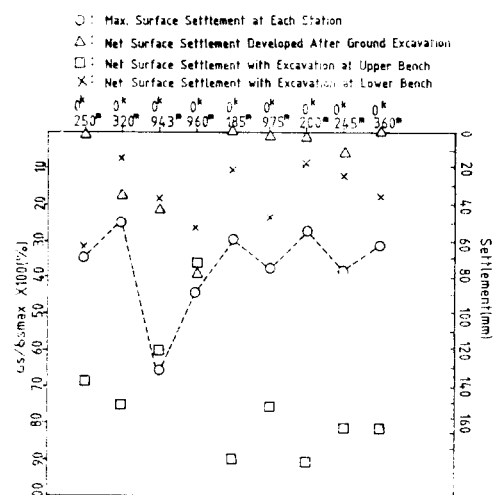


Fig. 4.5. Distribution of Surface Settlements with Excavation Steps

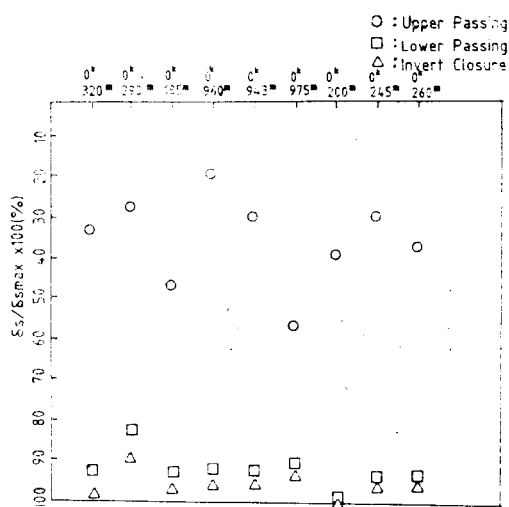


Fig. 4.6. Distribution of Surface Settlements associated with the Excavation at Upper Bench, Lower Bench and Invert

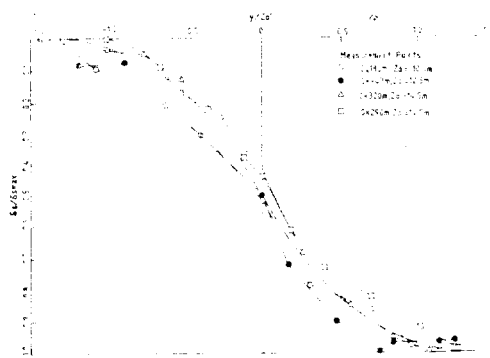


Fig. 4.7. Projection of Collected Data onto the Cumulative Normal Probability Curve (0k 943 m, 185 m, 290 m, 320 m)

는 있겠으나 그림에서와 같이 $(1.0 \sim 1.5)Z_0'$ 되는 곳에서 나타나는 경향을 발견할 수 있었다. 結果的으로 上半掘鑿에 따른 假인버어트를 施工하는 경우에 上半掘鑿을 中止하지 않고, 假인버어트 閉合을 上半과 5m 以內 間隔으로 閉合하여 나가면 沈下量이 상당히 減少되며, 또한 i 값이 $Z_0'/2$ 인 累積正規分布曲線으로 沈下解析이 가능하다고 판단된다.

5. 結 論

本研究에서 터널掘鑿에 따른 地盤變位의 計

測資料를 分析한結果, 다음과 같은 結論을 얻었다.

1) 掘鑿과 함께 假인버어트가 設置되는 터널上半部의 縱方向(橫方向)地表沈下는 累積正規分布曲線(가우스正規分布曲線)으로 解析이 가능하다.

2) 縱方向의 地表沈下는 計測點 後方 약 $(0.5 \sim 1.0)Z_0'$ 떨어진 地點까지 인버어트가 閉合되면一般的으로 收斂되며, 沈下의 初期發生은 計測點 前方 약 $(1.0 \sim 1.5)Z_0'$ 以上 떨어진 位置에서 부터 發生하고 있다.

3) 터널上半部掘鑿에 따른 地表沈下의 크기는 計測點 後方 약 $Z_0'/3$ 정도 떨어진 地點의 假인버어트 閉合時期에 큰 影響을 받으며, 假인버어트 閉合이 빨리 이루어질수록 沈下量이 減少된다.

4) 地表面 水平變位는 터널內部의 地盤損失方向으로 發生하며, 最大水平變位는 i 값이 나타나는 位置에서 發生하고 있다.

5) 上半의 計測點 通過時의 沈下量은 最終沈下量의 20%~40%, 下半의 累積沈下量은 最終沈下量의 약 90%정도 發生한다.

6) 上半部掘鑿時에 最終沈下量의 약 80%정도沈下가 發生함으로 보아, 下半部掘鑿보다 上半部掘鑿이 地表沈下에 더 큰 影響을 미치는 것으로 보인다.

7) 터널掘鑿中止가 주요한 沈下要因으로 나타났으며, 이는 隣近構造物밑으로 터널이掘鑿할 때에는 構造物의 안정상 가능한한掘鑿中止없이 터널掘進을 빨리 進陟시켜야함을 의미한다.

謝 辭

本研究는 韓國建設技術研究院의 '84 및 '85년度研究課題인 “地盤沈下防止工法의 研究”遂行을 위해 1段階로 實施한 釜山地下鐵 NATM 區間의 地盤變位 研究結果임을 謝하며, 本研究에 도움을 준 釜山地下鐵本部長님을 비롯한 이재호 設計課長, 배상호 設計係長 및 전세영 監督官께 진심으로 感謝를 드리는 바입니다.

参考文献

- 1) Zenc, M., "Comparison of Bal's and Konthe's Methods of Calculating Surface Movements due to Underground Mining", *J.Rock Mech. Min. Sci.*, Vol. 6, 1969, pp. 159~190.
- 2) Litwiniszyn, J., "The Theories and Model Research of Movements of Ground Masses", *Colliery Engineering*, 1958. Oct., pp. 437~444.
- 3) Bodziony, T., J. Litwiniszyn and A. Smolarski, "New Research into Rock Masses treated as Media Characterised by Stochastic Equations", *Proc. Int. Conf. on Strata Control*, Paris, 1960, pp. 137~150.
- 4) Mindlin, R.D., "Stress Distribution around a Tunnel", *Proc. ASCE*, Vol. 65, No. 4, 1939, pp. 619~642.
- 5) Salamon, M. D.G., "Rock Mechanics of Underground Excavations", *Proc. 3rd Int. Cong. ISRM*, Denver, Vol. I, Part B, 1974, pp. 951~1099.
- 6) Vardoulakis, I., B. Graf and G. Gudehus, "Trap-Door Problem with Dry Sand: A Statical Approach Based Upon Model Test Kinematics", *Int. J., Num. Anal. Meth. Geomech.*, Vol. 5, 1981, pp. 57~78.
- 7) Hong, S.W., "Ground Movements Around Model Tunnels in Sand," Ph. D Thesis, Univ. of Illinois at Urbana-Champaign, 1984, 419 p.
- 8) Terzaghi, K., "Shield Tunnels of the Chicago Subway", *J. Boston Society of Civil Engrs.*, Vol. 29, 1942b, pp. 163~210.
- 9) Hansmire, W.H., "Field Measurements of Ground Displacements about a Tunnel in Soil", Ph. D Thesis, Univ. of Illinois at Urbana-Champaign, 1975, 334 p.
- 10) Boden, J.B. and C. McCaul, "Measurements of Ground Measurements during a Bentonite Tunnelling Experiment", *Transport and Road Research Laboratory, Report LR 653*, Crowthorne, 1974, 19 p.
- 11) Martos, F. "Concerning an Apporximate Equation of the Subsidence Trough and Its Time Factors", In *International Strata Control Congress*, Leipzig, 1958, pp. 191~205.
- 12) Birger Schmidt, "Prediction of Settlements Due To Tunneling in Soil: Three Case Histories", *Proc. 2nd. Rapid Excavation Tunneling Conf.*, San Francisco, Vol. 2, 1974, pp. 1179~1199.
- 13) Peck, R.B., "Deep Excavations and Tunnelling in Soft Ground", *State of the Art Report*, 7 th Int. Conf. on Soil Mech. and Found. Engng., Mexico City, State-of-Art Vol., 1969b, pp. 225~290.
- 14) Deere, D.U, Peck, R.B, Monsees, J.E and Schmidt, B., "Design of Tunnel Liners and Support Systems." Report for U.S. Depart. of Transportation OMSGT, 1969, Contract 3~0152.
- 15) P.B. Attewell and I.W. Farmer, "Ground Deformation Resulting from Shield Tunnelling in Loden Clay," *Can. Geotech. J.* V.11, 1974a, pp. 380~395.
- 16) P. B. Attewell and I. W. Farmer, "Ground Disturbance Caused by Shield Tunnelling in a Stiff Fissured, Over-Consolidated Clay," *Engineering Geol.* V. 8, 1974b, pp. 361~381.
- 17) Edward J. Cording and W.H. Hansmire, "Displacements Around Soft Ground Tunnels", Session IV, Tunnels in Soil, 5th Panamerican Congress On Soil Mechanics and Foundation Engineering, Buenos Aires, Nov., 1975, pp. 5~25.